



1/42

$B \rightarrow M_1 M_2$ decays involving $\eta^{(\prime)}$ mesons

肖振军, 南京师范大学

合作者: 吕才典, 郭立波





研究生: 刘新, 王辉升, 郭东琴, 陈新芬, 徐前贵

高能物理学会年会, 2006年10月, 桂林

xiaozhenjun@njnu.edu.cn



Outline

-  I. Introduction
-  II. Theoretical Framework
-  III. Numerical Results
-  IV. Conclusion and Discussions

I. Introduction

- ♣ 在B物理研究中， $B \rightarrow M_1 M_2$ 两体非粲强子衰变道是十分重要的衰变道。SLAC和KEK的两个B 介子工厂已经积累了大约900M个B介子对的产生和衰变事例，已经观察到四十多个 $B \rightarrow M_1 M_2$ 两体衰变过程。
- ♣ LHC实验即将在2007年投入运行。在LHC-b实验中，不但能提供大约 10^{12} 的 $B_{u,d}$ 介子对事例，还能够提供大量的 B_s 、 B_C 介子对的产生和衰变事例，对 $B_S \rightarrow M_1 M_2$ 衰变过程的理论研究提供了实验推动。
- ♣ 随着实验数据统计性的不断提高，提高理论计算的精度成为焦点问题。在这方面近几年有许多进展，但目前对强子矩阵元 $\langle M_1 M_2 | H_{eff} | B \rangle$ 的计算仍有较大的不确定性，是影响理论计算精度的主要误差来源。

♣ 目前流行的三种因子化方法：

- ♠ Beneke等人提出的QCD因子化方法；
- ♠ 李湘楠等人提出的pQCD因子化方法；
- ♠ Bauer 等人提出的SCET 因子化方法。

♣ 在QCD因子化方案下，人们已经在NLO level 对 $B/B_s \rightarrow M_1 M_2$ 两体非粲强子衰变过程做了全面、细致的研究。

在pQCD因子化方案下，人们对部分 $B/B_s \rightarrow M_1 M_2$ 衰变过程做了计算和分析。已经开始包含NLO贡献。

♣ 我们最近采用pQCD因子化方法，计算了20多个两体非粲强子衰变道， $B \rightarrow (\rho, \pi, \phi, \omega)\eta^{(\prime)}, \eta^{(\prime)}\eta^{(\prime)}, KK^*$; $B_s \rightarrow (\pi, \rho, \phi, \omega)\eta^{(\prime)}, (\rho, \omega)K, \pi K^*$ ，给出了关于衰变分支比和CP破坏的理论预言，并做了全面的分析和讨论。

♣ 我们所考虑的过程多涉及 η , η' 介子。对 $B \rightarrow (\rho, \pi)\eta^{(\prime)}$ 衰变道, BaBar 和Belle 已经给出初步的关于分支比实验测量结果。

♣ η, η' 为中性赝标介子, 目前常用“Singlet-Octet Basis”和“Quark-flavor basis”来描写为 η 和 η' 之间的混合

♠ “Singlet-Octet Basis: 双角混合

$$\begin{pmatrix} \eta \\ \eta' \end{pmatrix} = \begin{pmatrix} \cos \theta_8 & -\sin \theta_1 \\ \sin \theta_8 & \cos \theta_1 \end{pmatrix} \begin{pmatrix} \eta_8 \\ \eta_1 \end{pmatrix}, \quad (1)$$

where

$$\eta_8 = \frac{1}{\sqrt{6}} (u\bar{u} + d\bar{d} - 2s\bar{s}), \quad \eta_1 = \frac{1}{\sqrt{3}} (u\bar{u} + d\bar{d} + s\bar{s}), \quad (2)$$

其中 $\theta_{1,8}$ 是混合角: $\theta_8 \approx -21^\circ$, $\theta_1 \approx [-9^\circ, -4^\circ]$;

♠ “Singlet-Octet Basis: 单角混合 $\theta_{1,8} = \theta_p: -17^\circ \leq \theta_p \leq -10^\circ$.”

♠ “Quark-Flavor Basis:

$$\begin{pmatrix} \eta \\ \eta' \end{pmatrix} = U(\phi) \begin{pmatrix} \eta_q \\ \eta_s \end{pmatrix} = \begin{pmatrix} \cos \phi & -\sin \phi \\ \sin \phi & \cos \phi \end{pmatrix} \begin{pmatrix} \eta_q \\ \eta_s \end{pmatrix}, \quad (3)$$

where

$$\eta_q = \frac{1}{\sqrt{2}} (u\bar{u} + d\bar{d}), \quad \eta_s = s\bar{s}, \quad (4)$$

其中 ϕ 是混合角: $\phi = 39.3^\circ \pm 1.0^\circ$;

♣ 为了解释实验上看到的 $B \rightarrow K\eta^{(\prime)}$ 反常，人们考虑了各种各样的可能机制：

— large $c\bar{c}$ content of η'

(K.T.Chao and F.Yuan, et al.,);

— hard spectator-scattering mechanism: $g^*g^*\eta^{(\prime)}$ coupling;

(D.S.Du, Y.D.Yang, M.Z.Yang, T.Muta, E.Kou et al.,)

— gluonic content of η' in QCDF;

(M. Beneke, M. Neubert, et al.)

— gluonic content of η' in pQCD;

(E. Kou, A.I. Sanda, H.-n Li, Y.Y. Charge, T. Kurimoto et al.,)

— various new physics contributions;

(Kagan, C.S.Huang, Y.L. Wu, Z.J.Xiao, et al.,)

- ♣ 在文献[E.Kou, PR D63,054027; Kou, Sanda, PL B525,240]中, η 和 η' 的物理状态被定义为:

$$\begin{aligned} |\eta\rangle &= X_\eta |\eta_q\rangle + Y_\eta |\eta_s\rangle, \\ |\eta'\rangle &= X_{\eta'} |\eta_q\rangle + Y_{\eta'} |\eta_s\rangle + Z_{\eta'} |\text{gluonium}\rangle. \end{aligned} \quad (5)$$

作者认为 η' 中gluonic admixture $\leq 26\%$ 。

- ♣ 根据文献[P.L.B 525,240],一个很大的SU(3) singlet 贡献能够帮我们解释 $B \rightarrow K\eta'$ 衰变大的分支比, 但同时也导致 $B \rightarrow K^0\eta$ 衰变的分支比过大, 与目前的实验矛盾。

♣ 胶子分布振幅: The leading-twist gluonic DAs of $\eta_{q,s}$ mesons are defined by Ali et al., (EPJ C30(2003)183):

$$\begin{aligned} \langle \eta_q(P) | A_{[\mu}^a(z) A_{\nu]}^b(0) | 0 \rangle &= f_q A \epsilon_{\mu\nu\rho\sigma} \frac{n_-^\rho P^\sigma}{n_- \cdot P} \int_0^1 dx e^{ixP \cdot z} \frac{\phi_q^G(x)}{x(1-x)}, \\ \langle \eta_s(P) | A_{[\mu}^a(z) A_{\nu]}^b(0) | 0 \rangle &= f_s B \epsilon_{\mu\nu\rho\sigma} \frac{n^\rho P^\sigma}{n \cdot P} \int_0^1 dx e^{ixP \cdot z} \frac{\phi_s^G(x)}{x(1-x)}, \end{aligned} \quad (6)$$

with the function

$$\phi_{q(s)}^G(x) = x^2(1-x)^2 B_2^{q(s)} C_1^{5/2}(2x-1), \quad C_1^{5/2}(t) = 5t. \quad (7)$$

The contribution from gluonic DAs is smaller than that from the quark DAs.

♣ 李湘楠等人[hep-ph/0609165]最近计算了 $\eta^{(\prime)}$ 介子中的胶子成分对 $B \rightarrow \eta^{(\prime)}$ 形状因子的贡献, for $b \rightarrow u, d$ decays, one finds

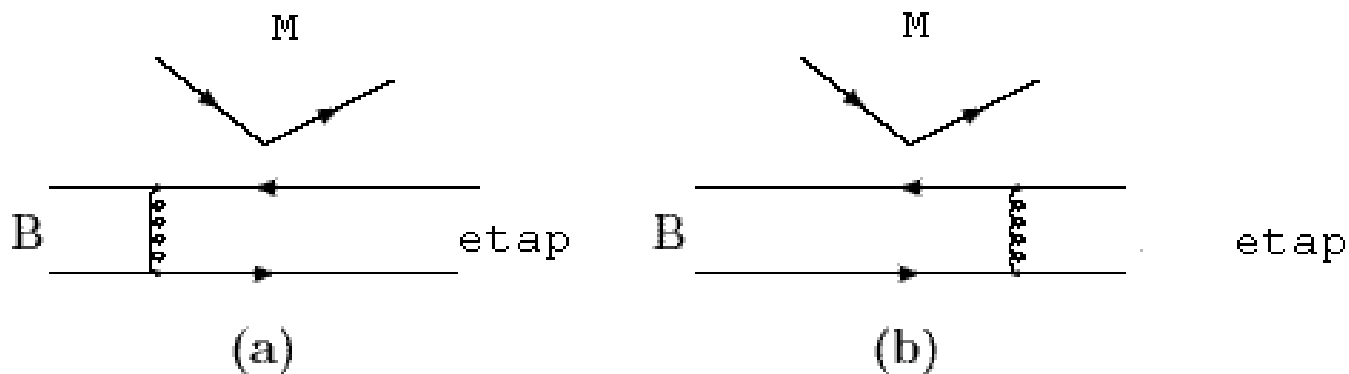
$$F_{+(0,T)}^{B\eta_q} = F_{q+(0,T)}^{B\eta_q} + F_{g+(0,T)}^{B\eta_q}, \quad F_{+(0,T)}^{B\eta_s} = F_{g+(0,T)}^{B\eta_s}. \quad (8)$$

That is, the η_s contributes only through the flavor-singlet pieces $F_{g+,g0,gT}^{B\eta_s}$. The $B \rightarrow \eta^{(\prime)}$ form factors are then obtained from the mixing,

$$\begin{pmatrix} F_{+(0,T)}^{B\eta} \\ F_{+(0,T)}^{B\eta'} \end{pmatrix} = U(\phi) \begin{pmatrix} F_{+(0,T)}^{B\eta_q} \\ F_{+(0,T)}^{B\eta_s} \end{pmatrix}. \quad (9)$$

The gluonic contributions from the η_q and η_s mesons add up in $F_{+(0,g)}^{B\eta'}$, but partially cancel in $F_{+(0,g)}^{B\eta}$.

图 1: 从(a),(b)两个图中可以抽取 $F_0^{B \rightarrow \eta^{(\prime)}}$ 的形状因子.



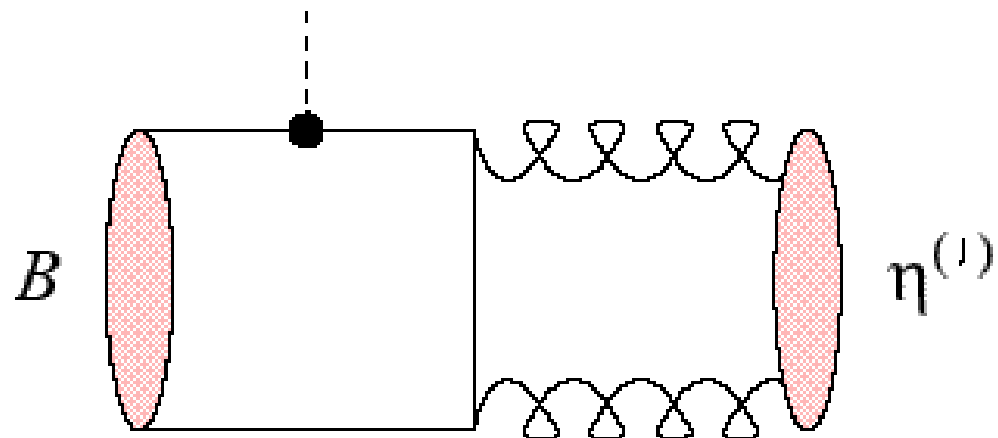


图 2: The Gluonic contribution to $B \rightarrow \eta^{(\prime)}$ form factor.

♣ 他们的结果表明:

- 对 $F_{+(0,g)}^{B\eta}$ 的胶子贡献只有 $\leq 5\%$; 对 $F_{+(0,g)}^{B\eta}$ 的胶子贡献在 $10\% \sim 40\%$;
- 胶子贡献对 $Br(B \rightarrow K\eta')$ 给出增强, 同时压低 $Br(B \rightarrow K\eta)$, 理论预言和实验数据符合的很好:

$$Br(B^0 \rightarrow K^0\eta') \approx 61 \times 10^{-6},$$

$$Br(B^0 \rightarrow K^0\eta) \approx 2 \times 10^{-6}$$

Spectator hard scattering contribution.

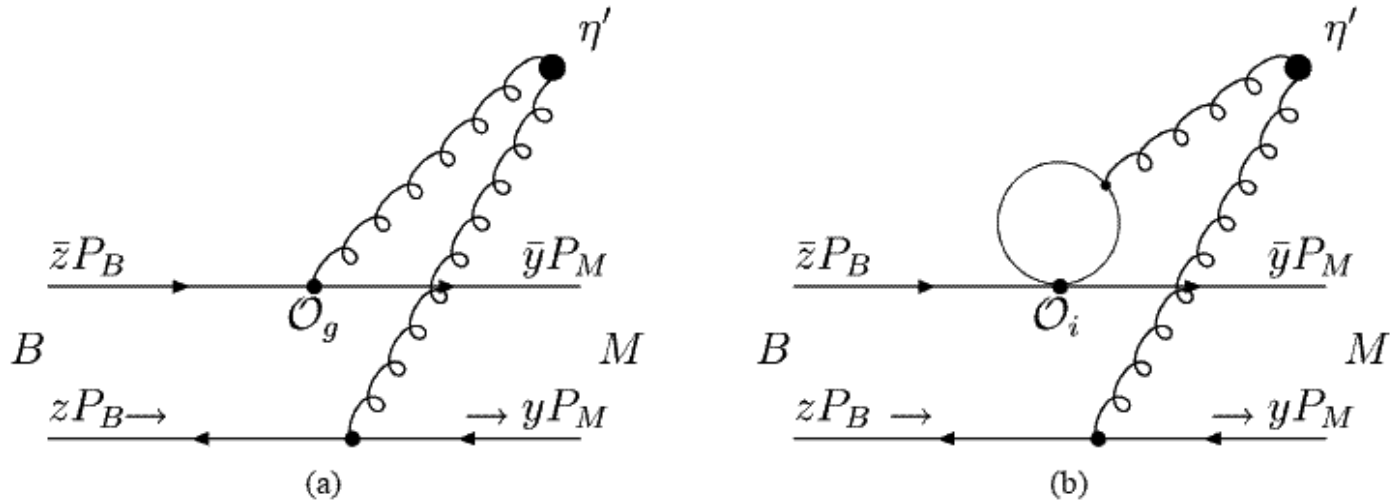


Fig. 3. The Feynman diagrams of the spectator hard scattering mechanism for B decays to $\eta' M$, where M is a light pseudoscalar or vector meson.

II. Theoretical Framework

♣ 在PQCD方法下费曼振幅的表达式为:

$$\begin{aligned} A(B \rightarrow M_1 M_2) \sim & \int d^4 k_1 d^4 k_2 d^4 k_3 \operatorname{Tr} [C(t) \Phi_B(k_1) \Phi_{M_1}(k_2) \Phi_{M_2}(k_3) \\ & \times H(k_1, k_2, k_3, t)] \end{aligned} \quad (10)$$

♣ k_i : 介子中轻夸克的动量;

Tr : 对Dirac矩阵和色指标求迹;

$C(t)$: *Wilson*系数;

t : 能标 $O(\sqrt{\Lambda} M_B)$;

$H(k_1, k_2, k_3, t)$: 含有硬胶子的微扰可算部分;

Φ_M : 介子波函数.

♣ 对 k_1^-, k_2^-, k_3^+ 积分后, 费曼振幅的表达式为

$$\begin{aligned}
 A(B \rightarrow M_1 M_2) &\sim \int dx_1 dx_2 dx_3 b_1 db_1 b_2 db_2 b_3 db_3 \\
 &\times \text{Tr} [C(t) \Phi_B(x_1, b_1) \Phi_{M_1}(x_2, b_2) \Phi_{M_2}(x_3, b_3) H(x_i, b_i, t) \\
 &\times S_t(x_i) e^{-S(t)}], \tag{11}
 \end{aligned}$$

其中,

$S_t(x_i)$: 由双对数 $\ln^2 x_i$ 经过阈值求和所得到, 可以消除端点发散;

$e^{-S(t)}$: *Sudakov* 形状因子, 能有效压低软胶子的动力学效应.

♣ $b \rightarrow d$ transition 有效哈密顿量表示为:

$$\mathcal{H}_{eff} = \frac{G_F}{\sqrt{2}} \left[V_{ub} V_{ud}^* (C_1(\mu) O_1^u(\mu) + C_2(\mu) O_2^u(\mu)) - V_{tb} V_{td}^* \sum_{i=3}^{10} C_i(\mu) O_i(\mu) \right]$$

♣ 以 $B \rightarrow (\rho, \pi)\eta^{(\prime)}$ 衰变为例, factorizable and non-factorizable spectator diagrams are:

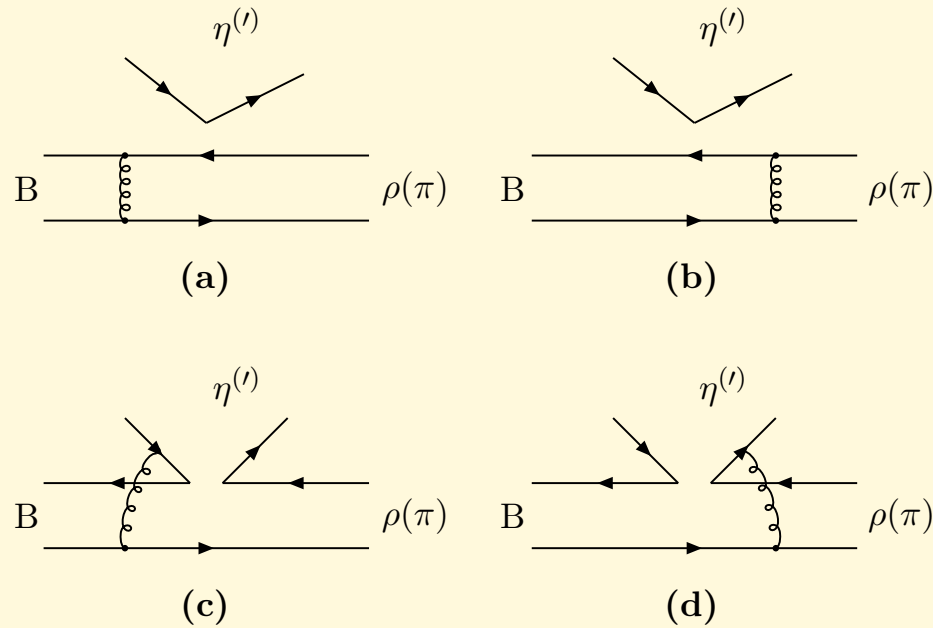


图 3: 从(a),(b)两个图中可以抽取 $A_0^{B \rightarrow \rho}(0)$ 和 $F_0^{B \rightarrow \pi}(0)$ 的形状因子. 当将 $\rho(\pi)$ 和 $\eta^{(\prime)}$ 互换后即可得到 $F_0^{B \rightarrow \eta^{(\prime)}}$ 的形状因子.

♣ The annihilation diagrams for $B \rightarrow (\rho, \pi)\eta^{(\prime)}$ are

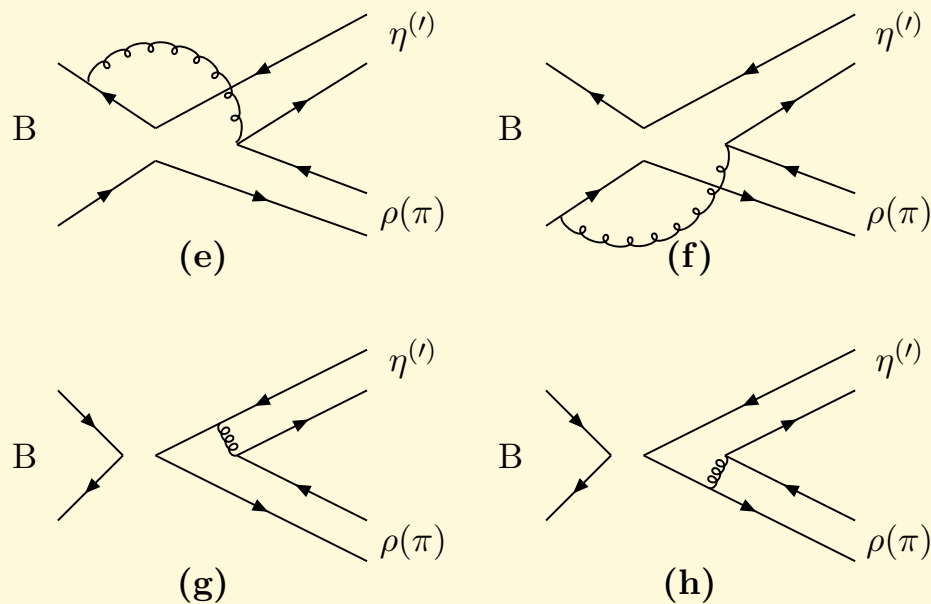


图 4: 湮灭图对衰变过程的贡献.

♣ 在pQCD因子化方案中，形状因子是可以计算的，湮灭图也是可以计算的。

III. Numerical Results

1. Branching Ratios

♠ 在这些过程($\bar{b} \rightarrow \bar{d}$)中,衰变振幅的表达式为

$$\mathcal{M} = V_{ub}^* V_{ud} T - V_{tb}^* V_{td} P = V_{ub}^* V_{ud} T \left[1 + z e^{i(\alpha+\delta)} \right] \quad (13)$$

$$z = \left| \frac{V_{tb}^* V_{td}}{V_{ub}^* V_{ud}} \right| \left| \frac{P}{T} \right| \quad \alpha = \arg \left[-\frac{V_{td} V_{tb}^*}{V_{ud} V_{ub}^*} \right] \quad (14)$$

其中 α 是CKM相角, δ 是" Penguin"和" Tree" 图的相对强相位.

♠ 上式相应的共轭表达式为

$$\overline{\mathcal{M}} = V_{ub} V_{ud}^* T - V_{tb} V_{td}^* P = V_{ub} V_{ud}^* T \left[1 + z e^{i(-\alpha+\delta)} \right] \quad (15)$$

♠ We define the CP-averaged branching ratio as

$$BR(B \rightarrow M_1 M_2) = [Br(B \rightarrow f) + Br(\bar{B} \rightarrow \bar{f})] / 2 \quad (16)$$

♣ For $B \rightarrow \rho\eta^{(\prime)}$ decays, we find [Phys.Rev. D 73, 074002 (2006)]:

$$\begin{aligned} Br(B^+ \rightarrow \rho^+ \eta) &= [10.6_{-2.6}^{+3.9}(\omega_b)_{-0.9}^{+1.0}(m_0^\pi) \pm 0.5(\alpha)] \times 10^{-6}, \\ Br(B^+ \rightarrow \rho^+ \eta') &= [6.5_{-1.8}^{+2.3}(\omega_b) \pm 0.6(m_0^\pi) \pm 0.5(\alpha)] \times 10^{-6}, \\ Br(B^0 \rightarrow \rho^0 \eta) &= [4.2_{-1.2}^{+2.0}(\omega_b) \pm 0.5(m_0^\pi)_{-0.4}^{+0.6}(\alpha)] \times 10^{-8}, \\ Br(B^0 \rightarrow \rho^0 \eta') &= [4.7_{-1.6}^{+2.0}(\omega_b)_{-0.6}^{+0.1}(m_0^\pi) \pm 0.1(\alpha)] \times 10^{-8}. \end{aligned}$$

◇ QCD因子化方法下给出的理论值(in units of 10^{-6}):

$$\begin{aligned} Br(\rho^+ \eta) &= 9.4_{-4.8}^{+5.9}, & Br(\rho^+ \eta') &= 6.3_{-3.3}^{+4.0}, \\ Br(\rho^0 \eta) &= 0.03_{-0.10}^{+0.17}, & Br(\rho^0 \eta') &= 0.01_{-0.06}^{+0.12}. \end{aligned}$$

◇ World-average from HFAG (in units of 10^{-6}):

$$\begin{aligned} Br(\rho^+ \eta) &= 5.3_{-1.1}^{+1.2}, & Br(\rho^+ \eta') &= 9.1_{-2.8}^{+3.7}, \\ Br(\rho^0 \eta) &= < 1.5, & Br(\rho^0 \eta') &= < 3.7. \end{aligned}$$

♣ For $B \rightarrow \pi\eta^{(\prime)}$, we find (in units of 10^{-6}) [Nucl.Phys. B738 (2006)243]:

$$\begin{aligned} Br(B^+ \rightarrow \pi^+\eta) &= 4.1_{-1.1}^{+1.5}, & Br(B^+ \rightarrow \pi^+\eta') &= 2.4_{-0.6}^{+0.9}, \\ Br(B^0 \rightarrow \pi^0\eta) &= 0.23 \pm 0.08, & Br(B^0 \rightarrow \pi^0\eta') &= 0.19 \pm 0.05. \end{aligned}$$

◇ QCD因子化方法的理论预言值 (in units of 10^{-6}) :

$$\begin{aligned} Br(\pi^+\eta) &= 4.7_{-2.3}^{+2.7}, & Br(\pi^+\eta') &= 3.1_{-1.7}^{+1.9}, \\ Br(\pi^0\eta) &= 0.28_{-0.28}^{+0.48}, & Br(\pi^0\eta') &= 0.17_{-0.17}^{+0.33}. \end{aligned}$$

◇ World-average from HFAG (in units of 10^{-6}):

$$\begin{aligned} Br(\pi^+\eta) &= 4.4 \pm 0.4, & Br(\pi^+\eta') &= 2.6 \pm 0.6, \\ Br(\pi^0\eta) &= < 1.3, & Br(\pi^0\eta') &= 1.5 \pm 0.7. \end{aligned}$$

♣ For $B \rightarrow \eta^{(\prime)}\eta^{(\prime)}$, we find (in units of 10^{-6}) (hep-ph/0607219):

$$\begin{aligned} Br(B^0 \rightarrow \eta\eta) &= 0.18 \pm 0.07, & Br(B^0 \rightarrow \eta\eta') &= 0.12 \pm 0.04, \\ Br(B^0 \rightarrow \eta'\eta') &= 0.08 \pm 0.03. \end{aligned}$$

◇ QCD因子化方法的理论预言值 (in units of 10^{-6}):

$$\begin{aligned} Br(\pi^+\eta) &= 0.16_{-0.19}^{+0.45}, & Br(\pi^+\eta') &= 0.16_{-0.18}^{+0.61}, \\ Br(\pi^0\eta) &= 0.06_{-0.07}^{+0.26}. \end{aligned}$$

◇ World-average from HFAG (in units of 10^{-6}):

$$\begin{aligned} Br(\eta\eta) &= 1.1_{-0.4}^{+0.5} \pm 0.1 (< 1.8), & Br(\eta\eta') &< 1.7, \\ Br(\eta'\eta') &= 1.0_{-0.7}^{+0.8} \pm 0.1 (< 2.4). \end{aligned}$$

♣ For $B \rightarrow KK^*$ decays, we find (hep-ph/0609005):

$$Br(B^+ \rightarrow K^+ \bar{K}^{*0}) = 2.0_{-0.5}^{+0.7}(\omega_b) \times 10^{-7},$$

$$Br(B^+ \rightarrow K^{*+} \bar{K}^0) = 10.7_{-2.6}^{+3.8}(\omega_b) \times 10^{-7},$$

$$Br(B^0/\bar{B}^0 \rightarrow K^0 \bar{K}^{*0} + \bar{K}^0 K^{*0}) = 9.8_{-2.7}^{+3.9}(\omega_b) \times 10^{-7},$$

$$Br(B^0/\bar{B}^0 \rightarrow K^+ K^{*-} + K^- K^{*+}) = 4.0 \pm 0.6(\omega_b) \times 10^{-8}.$$

◇ QCD因子化方法的理论预言值:

$$Br(K^- K^{*0}) = 3.0_{-2.5}^{+6.0} \times 10^{-7}, \quad Br(K^{*-} K^0) = 3.0_{-2.7}^{+7.2} \times 10^{-7},$$

$$Br(\bar{K}^0 K^{*0}) = 2.6_{-2.0}^{+4.8} \times 10^{-7}, \quad Br(K^0 \bar{K}^{*0}) = 2.9_{-2.7}^{+7.3} \times 10^{-7},$$

$$Br(K^- K^{*+}) = 1.4_{-1.4}^{+10.7} \times 10^{-8}, \quad Br(K^+ K^{*-}) = 1.4_{-1.4}^{+10.7} \times 10^{-8}.$$

◇ World-average from HFAG (in units of 10^{-6}):

$$Br(K^0 \bar{K}^{*0} + \bar{K}^0 K^{*0}) = < 1.9, \quad Br(K^+ \bar{K}^{*0}) < 5.3.$$

♣ For $B_s \rightarrow \pi^0 \eta^{(\prime)}$ decays, we find (hep-ph/0606177):

$$\begin{aligned} Br(B_s^0 \rightarrow \pi^0 \eta) &= (0.86_{-0.33}^{+1.12}) \times 10^{-7}, \\ Br(B_s^0 \rightarrow \pi^0 \eta') &= (1.86_{-0.69}^{+1.76}) \times 10^{-7}. \end{aligned}$$

◇ QCD因子化方法的理论预言值 (in units of 10^{-7}):

$$\begin{aligned} Br(B_s^0 \rightarrow \pi^0 \eta) &= 0.75_{-0.30}^{+0.35}, \\ Br(B_s^0 \rightarrow \pi^0 \eta') &= 1.1_{-0.24}^{+0.24}. \end{aligned}$$

◇ World-average from HFAG:

$$Br(B_s^0 \rightarrow \pi^0 \eta^{(\prime)}) < 1.0 \times 10^{-3}.$$

♣ For $B_s \rightarrow (\rho, \omega)K$ decays, we find (hep-ph/0608222):

$$\begin{aligned} Br(B_s \rightarrow \rho^\pm K^\mp) &= [24.7_{-6.7}^{+10.1}(\omega_b)_{-1.2}^{+1.1}(\alpha)] \times 10^{-6}, \\ Br(B_s \rightarrow \rho^0 \bar{K}^0) &= [1.2_{-0.2}^{+0.4}(\omega_b) \pm 0.1(\alpha)] \times 10^{-7}, \\ Br(B_s \rightarrow \omega \bar{K}^0) &= [1.7_{-0.3}^{+0.6}(\omega_b) \pm 0.02(\alpha)] \times 10^{-7}. \end{aligned}$$

◇ QCD因子化方法的理论预言值 (in units of 10^{-7}):

$$\begin{aligned} Br(B_s \rightarrow \rho^\pm K^\mp) &= [24.5_{-12.9}^{+15.2}] \times 10^{-6}, \\ Br(B_s \rightarrow \rho^0 \bar{K}^0) &= [6.1_{-6.0}^{+12.6}] \times 10^{-7}, \\ Br(B_s \rightarrow \omega \bar{K}^0) &= [5.1_{-4.0}^{+8.3}] \times 10^{-7}. \end{aligned}$$

◇ No data available currently.

2. CP Violation

♣ B^\pm 介子衰变的直接CP破坏:

$$A_{CP}^{dir} = \frac{|\overline{\mathcal{M}}|^2 - |\mathcal{M}|^2}{|\overline{\mathcal{M}}|^2 + |\mathcal{M}|^2} = \frac{2z \sin \alpha \sin \delta}{1 + 2z \cos \alpha \cos \delta + z^2}$$

♣ $B^0 - \overline{B}^0$ 混合与时间相关的CP破坏:

$$A_{CP} = A_{CP}^{dir} \cos(\Delta m \Delta t) + A_{CP}^{mix} \sin(\Delta m \Delta t),$$
$$A_{CP}^{dir} = \frac{|\lambda_{CP}|^2 - 1}{1 + |\lambda_{CP}|^2}, \quad A_{CP}^{mix} = \frac{2\text{Im}(\lambda_{CP})}{1 + |\lambda_{CP}|^2},$$

where

$$\lambda_{CP} = \frac{V_{tb}^* V_{td} \langle \bar{f} | H_{eff} | \overline{B}^0 \rangle}{V_{tb} V_{td}^* \langle f | H_{eff} | B^0 \rangle} = e^{2i\alpha} \frac{1 + ze^{i(\delta-\alpha)}}{1 + ze^{i(\delta+\alpha)}}.$$

♣ For $B \rightarrow (\rho^\pm, \rho^0)\eta^{(\prime)}$ decays, we found:

$$\begin{aligned} A_{CP}^{dir}(\rho^\pm\eta) &\approx -13\%, & A_{CP}^{dir}(\rho^\pm\eta') &\approx -18\%, \\ A_{CP}^{dir}(\rho^0\eta) &\approx -41\%, & A_{CP}^{dir}(\rho^0\eta') &\approx -27\%, \\ A_{CP}^{mix}(\rho^0\eta) &\approx +25\%, & A_{CP}^{mix}(\rho^0\eta') &\approx +11\%. \end{aligned}$$

♣ For $B \rightarrow (\pi^\pm, \pi^0)\eta^{(\prime)}$ decays, we found:

$$\begin{aligned} A_{CP}^{dir}(\pi^\pm\eta) &\approx -37\%, & A_{CP}^{dir}(\pi^\pm\eta') &\approx -33\%, \\ A_{CP}^{dir}(\pi^0\eta) &\approx -37\%, & A_{CP}^{dir}(\pi^0\eta') &\approx -33\%, \\ A_{CP}^{mix}(\pi^0\eta) &\approx +67\%, & A_{CP}^{mix}(\pi^0\eta') &\approx +67\%. \end{aligned}$$

♣ 实验结果: $A_{CP}^{dir}(\rho^\pm\eta)^{exp} = -0.03 \pm 0.16$,

$$A_{CP}^{dir}(\pi^\pm\eta)^{exp} = -0.11 \pm 0.08, \quad A_{CP}^{dir}(\pi^\pm\eta')^{exp} = 0.14 \pm 0.15. \quad (17)$$

♣ For $B \rightarrow \eta^{(\prime)}\eta^{(\prime)}$ decays, we found (in percent):

$$\begin{aligned} \mathcal{A}_{CP}^{dir}(\eta\eta) &= +14_{-5}^{+7}, & \mathcal{A}_{CP}^{mix}(\eta\eta) &= +91_{-9}^{+4}, \\ \mathcal{A}_{CP}^{dir}(\eta\eta') &= +76_{-10}^{+5}, & \mathcal{A}_{CP}^{mix}(\eta\eta') &= +6_{-55}^{+51}, \\ \mathcal{A}_{CP}^{dir}(\eta'\eta') &= +86_{-16}^{+13}, & \mathcal{A}_{CP}^{mix}(\eta'\eta') &= +50_{-36}^{+21}. \end{aligned}$$

♣ The QCDF and SCET predictions (in percent):

$$\begin{aligned} \mathcal{A}_{CP}^{dir}(B^0 \rightarrow \eta\eta) &= \begin{cases} +63_{-74}^{+32}, & \text{QCDF,} \\ +48 \pm 32, & \text{SCET,} \end{cases} \\ \mathcal{A}_{CP}^{dir}(B^0 \rightarrow \eta\eta') &= \begin{cases} +56_{-144}^{+32}, & \text{QCDF,} \\ +70 \pm 24, & \text{SCET,} \end{cases} \\ \mathcal{A}_{CP}^{dir}(B^0 \rightarrow \eta'\eta') &= \begin{cases} +46_{-147}^{+43}, & \text{QCDF,} \\ +60 \pm 38, & \text{SCET,} \end{cases} . \end{aligned}$$

♣ For $B \rightarrow KK^*$ decays, we found (in percent):

$$\begin{aligned} \mathcal{A}_{CP}^{dir}(B^\pm \rightarrow K^\pm \bar{K}^{*0}(K^{*0})) &= +15 \pm 5, \\ \mathcal{A}_{CP}^{dir}(B^\pm \rightarrow K^{*\pm} \bar{K}^0(K^0)) &= +44_{-15}^{+10}, \\ \mathcal{A}_{CP}^{dir}(B^0/\bar{B}^0 \rightarrow K^0 \bar{K}^{*0}(\bar{K}^0 K^{*0})) &= 0. \end{aligned}$$

♣ The QCDF predictions (in percent):

$$\begin{aligned} \mathcal{A}_{CP}^{dir}(B^\pm \rightarrow K^\pm \bar{K}^{*0}(K^{*0})) &= -24_{-39}^{+28}, \\ \mathcal{A}_{CP}^{dir}(B^\pm \rightarrow K^{*\pm} \bar{K}^0(K^0)) &= -13_{-37}^{+29}. \end{aligned}$$

♣ Clearly, there is a sign difference between the pQCD and QCDF predictions for CP violating asymmetries.

♣ For $B_s \rightarrow \pi\eta^{(\prime)}$ decays, we found (in percent):

$$\begin{aligned} \mathcal{A}_{CP}^{dir}(B_s^0 \rightarrow \pi^0 \eta) &= -4.5_{-0.6}^{+1.2}(\gamma)_{-0.4}^{+0.6}(\omega_{b_s}) \pm 0.6(m_0^\pi)_{-1.8}^{+1.7}(m_s)_{-0.2}^{+0.7}(a_t), \\ \mathcal{A}_{CP}^{dir}(B_s^0 \rightarrow \pi^0 \eta') &= -9.1_{-2.3}^{+2.8}(\gamma)_{-0.6}^{+0.3}(\omega_{b_s}) \pm 0.3(m_0^\pi) \pm 1.9(m_s)_{-1.5}^{+4.1}(a_t) \\ \mathcal{A}_{CP}^{mix}(B_s^0 \rightarrow \pi^0 \eta) &= -0.2 \pm 0.1(\gamma)_{-2.1}^{+2.5}(\omega_{b_s})_{-1.4}^{+1.2}(m_0^\pi)_{-4.5}^{+4.4}(m_s)_{-11.6}^{+26.3}(a_t), \\ \mathcal{A}_{CP}^{mix}(B_s^0 \rightarrow \pi^0 \eta') &= 27.0_{-7.5}^{+4.8}(\gamma)_{-0.7}^{+0.4}(\omega_{b_s})_{-0.5}^{+0.6}(m_0^\pi) \pm 0.2(m_s)_{-8.3}^{+17.1}(a_t). \end{aligned}$$

♣ The QCDF predictions (in percent):

$$\mathcal{A}_{CP}^{dir}(B_s^0 \rightarrow \pi^0 \eta') = 27.8_{-7.1}^{+6.0} \begin{matrix} +9.6 \\ -5.7 \end{matrix} \begin{matrix} +2.0 \\ -2.0 \end{matrix} \begin{matrix} +24.7 \\ -27.2 \end{matrix}.$$

♣ For $B_s \rightarrow (\rho, \omega)K$ decays, we found (in percent):

$$\mathcal{A}_{CP}^{dir}(B_s \rightarrow \rho^\pm K^\mp) = -12.5_{-2.2}^{+2.0}(\omega_b)_{+2.0}^{-0.6}(\alpha),$$

$$\mathcal{A}_{CP}^{dir}(B_s \rightarrow \rho^0 \bar{K}^0) = -91.9_{+8.0}^{-1.8}(\omega_b)_{+4.8}^{+6.5}(\alpha),$$

$$\mathcal{A}_{CP}^{dir}(B_s \rightarrow \omega \bar{K}^0) = +81.2_{-5.6}^{+1.7}(\omega_b)_{-8.8}^{-1.2}(\alpha),$$

$$\mathcal{A}_{CP}^{mix}(B_s \rightarrow \rho^0 \bar{K}^0) = -37_{-19}^{+22}(\omega_b)_{+22}^{+26}(\gamma),$$

$$\mathcal{A}_{CP}^{mix}(B_s \rightarrow \omega \bar{K}^0) = -40 \pm 11(\omega_b)_{-15}^{+19}(\gamma).$$

♣ The QCDF predictions (in percent):

$$\mathcal{A}_{CP}^{dir}(B_s \rightarrow \rho^\pm K^\mp) = (-1.5 \pm 12.2) \times 10^{-2},$$

$$\mathcal{A}_{CP}^{dir}(B_s \rightarrow \rho^0 \bar{K}^0) = 24.7_{-56.8}^{+58.3},$$

$$\mathcal{A}_{CP}^{dir}(B_s \rightarrow \omega \bar{K}^0) = -43.9_{-62.1}^{+69.1}.$$

♣ There is also a sign difference between the pQCD and QCDF predictions for latter two neutral decay modes.

IV. Conclusion and discussions

- ♣ 在已经发表的文章中,我们没有考虑 η' 中可能有的胶子耦合成分的贡献, η 和 η' 只有混合系数上的差别。对 $B \rightarrow \eta^{(\prime)}\eta^{(\prime)}$, $B_s \rightarrow \pi\eta^{(\prime)}$, $\rho(\pi)\eta^{(\prime)}$ 等衰变道, 胶子部分的贡献正在计算之中。
- ♣ 对胶子成分贡献的计算困难, 近似多, 误差大。实际上我们现在仍然不知道如何可靠地计算这种贡献?
- ♣ 对于涉及 η, η' 介子的衰变过程的分支比, pQCD理论值与QCDF理论预言值符合的很好, 与目前已知的最新实验数据也符合的很好。
除了 $B \rightarrow K\eta'$ 衰变道以外, 好像不需要 η' 介子中胶子耦合成分的帮助!

- ♣ 在pQCD因子化方法中，基本的输入量是相关介子的波函数，形状因子是可以解析维扰计算的，这一点当然有争论。通过我们的解析和数值计算，抽取出相关的跃迁形状因子为：

$$\begin{aligned} F_{0,1}^{B \rightarrow \pi}(0) &= 0.30 \pm 0.05, & F_{0,1}^{B \rightarrow K}(0) &= 0.36 \pm 0.06, \\ F_{0,1}^{B \rightarrow \eta^{(\prime)}}(0) &= 0.30 \pm 0.05, & F_{0,1}^{B_s \rightarrow K}(0) &= 0.28 \pm 0.05, \\ A_0^{B \rightarrow \rho}(0) &= 0.37 \pm 0.06, & A_0^{B \rightarrow K^*}(0) &= 0.46 \pm 0.07. \end{aligned}$$

上述结果与目前由QCD sum rule 等方法得到的结果符合的很好。这一点应当可以被看成是对pQCD 因子化方法的一个支持！

- ♣ 在CP破坏方面，pQCD的理论预言值一般都比QCDF的理论预言值要大，其原因在于二者的强相位的来源不同。另外，现在的理论预言值的误差仍然比较大。高阶效应等因素可能会产生较大的影响。

Thanks to All !

Backup Slides



正在进行的相关工作

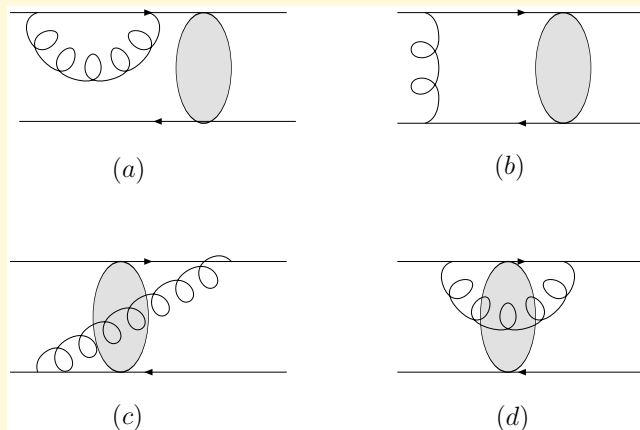
- ♣ 对 $B \rightarrow (\phi, \omega)\eta^{(\prime)}$ 和 $B_s \rightarrow (\rho, \phi, \omega)\eta^{(\prime)}, \pi K^*$ 衰变道的计算已经完成, 正在做最后检查。
- ♣ 对 $B \rightarrow K\eta^{(\prime)}$ 衰变道的重新计算已经完成, 正在做最后的讨论和交叉检查。
- ♣ 尽快将 LO level 的计算拓展到 NLO level。

强子矩阵元计算的方法

- **朴素的因子化方案**: 由Bauer, Stech 和Wirbel 建立的最简单的因子化方案。但该方案依赖于重整化标度和方案(scale and scheme dependent), 丢失了强相角的信息, 无法预测CP;
- **推广的因子化方案**: 重整化标度和方案依赖性降低, 但是引入 N_{eff} , 这个量不是普适的。
- **BBNS因子化方案**: 解决了重整化标度和方案依赖性, 但是无法计算湮灭图和非因子化衰变为主的衰变过程
- **PQCD approach**: 引入Sudakov因子, 修正端点行为, 可以计算湮灭图过程。

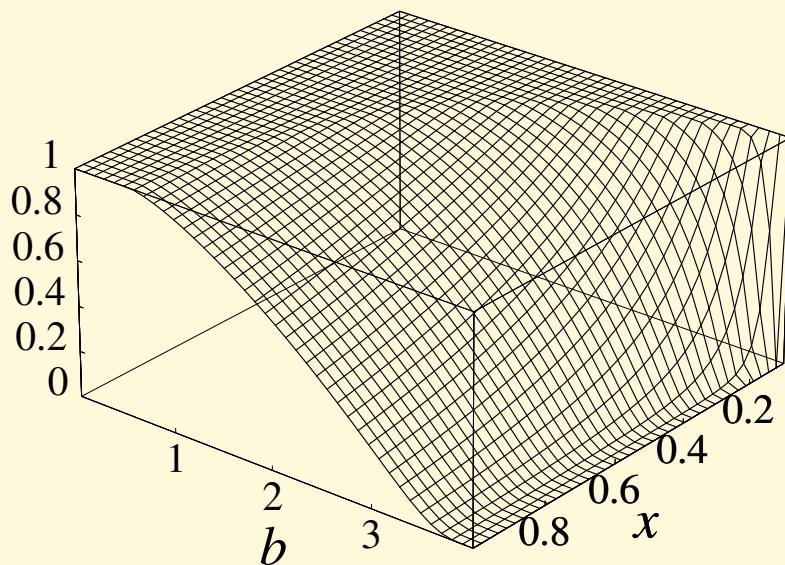
Sudakov因子

在问题的处理过程中，不仅有硬胶子的交换，而且还有很多软胶子的存在。因此，需要进行辐射修正。



每一个发散都有对数项产生，单个的对数项全部抵消掉，但是当软发散和共线发散重叠的时候，会出现双对数项，我们可以利用重整化群方程求和起来，得到Sudakov因子。

Sudakov因子效果图



在大 b 的区域 $b \sim b_{max} = 1/\Lambda_{QCD}$ 的时候，该因子很小，基本上趋进于零，即当 b 增大的时候，它是指数衰减的。由于引入 k_T 而出现的Sudakov因子的作用就是压低在大 b (小 k_T)时长程相互作用，恰恰是因为这种特性，才保证了我们利用微扰论来做计算。

介子波函数 Φ_M

普适的介子波函数描述的是非微扰过程，是唯象的结果。一般利用QCD 求和规则或者格点QCD 导出，根据已有实验数据确定其参数。例如：

★ 重赝标介子与 轻赝标介子：

$$\Phi_H(x, b) = \frac{i}{\sqrt{2N_c}} [(\not{P}_1 \gamma_5) + M_H \gamma_5] \phi_H(x, b), .$$

$$\Phi_L(x, b) = \frac{i}{\sqrt{2N_c}} \left[\gamma_5 \not{P} \phi_L^A(x, b) + m_0^{M_1} \gamma_5 \phi_L^P(x_3, b_3) + m_0^{M_2} \gamma_5 (\not{p} \not{n} - 1) \phi_L^T(x, b) \right].$$

★ 矢量介子：

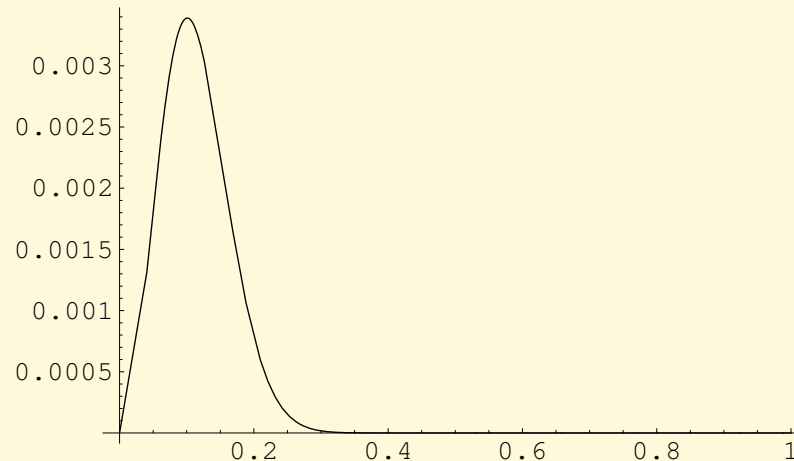
$$\Phi_V^\parallel(x, b) = \frac{i}{\sqrt{6}} \left[M_V \not{\epsilon}_L \phi_V(x, b) + \not{\epsilon}_L \not{P} \phi_V^t(x, b) + M_V I \phi_V^s(x, b) \right].$$

其中 ϕ_B, ϕ_L 和 ϕ_V 表示介子波函数的 “light-cone distribution amplitude” 。

光锥分布函数

对于 B, K, π ，我们可以通过其它测量比较好的衰变道定出该函数，例如对 B 介子有：

$$\phi_B(x, b) = N_B x^2 (1 - x)^2 \exp \left[-\frac{M_B^2 x^2}{2\omega_b^2} - \frac{1}{2}(\omega_b b)^2 \right]. \quad (18)$$



误差来源

- ★ 波函数本身的不确定性，主要是由 ω_b 和 Gegenbauer moments 的不确定性引起的误差。
- ★ 手征质量(m_0^π 等)和衰变常数带来的误差。
- ★ CKM矩阵元的不确定性， $\alpha = 100^\circ \pm 20^\circ$;
- ★ NLO 高阶修正的贡献；末态相互作用的贡献；
- ★ η' 介子中可能的胶子成分贡献。